

# بررسی ساختار و فراساختار بافت آبششی و مکانیابی سلول‌های کلراید آبششی به روش ایمونو‌هیستوشیمی در بچه ماهی سفید دریای خزر (*Rutilus frisii* (Kamensky, 1901) *kutum*)

زهرا خوشنود<sup>۱\*</sup>، شهرام جمیلی<sup>۱</sup>، صابر خدابنده<sup>۲</sup>، علی ماشینچیان مرادی<sup>۱</sup> و عباسعلی مطلبی<sup>۳</sup>

<sup>۱</sup> تهران، دانشگاه آزاد اسلامی واحد علوم و تحقیقات، دانشکده علوم دریایی، گروه بیولوژی دریا

<sup>۲</sup> تهران، دانشگاه تربیت مدرس، دانشکده علوم دریایی، گروه بیولوژی دریا

<sup>۳</sup> تهران، موسسه تحقیقات شیلات ایران

تاریخ دریافت: ۹۱/۸/۲۹ تاریخ پذیرش: ۹۲/۱/۱۹

## چکیده

به منظور بررسی ساختار آبششی ماهی سفید دریای خزر از بچه ماهیان سن رهاسازی (۲۱-۳۳ میلی‌گرمی) استفاده گردید. مطالعه‌ی بافت‌شناسی نشان داد که در این بچه‌ماهیان سیستم آبششی شامل ۴ کمان آبششی در هر طرف سر، یک سودوبرانش در هر طرف سر و یک همی برانش در بخش خلفی محفظه‌ی آبششی در هر طرف سر می‌باشد. بر روی هر کمان آبششی رشته‌ها و تیغه‌های آبششی قرار دارند. بافت سودوبرانش از نظر ظاهری مشابه برانش اصلی بوده اما از ساختارهای لاملاً مانندی چسیبده به یکدیگر تشکیل شده است. مکانیابی ایمونو‌هیستوشیمیابی سلول‌های کلراید آبششی نشان داد که این سلول‌ها بر روی کمان‌ها، رشته‌ها، در پایه‌ی لاملاهای سودوبرانش و همی برانش متصل به دیواره‌ی خلفی محفظه‌ی آبششی قرار دارند. اندازه‌گیری این سلول‌ها نشان داد که میانگین طول  $9/70 \pm 0/28$  میکرومتر و میانگین عرض  $6/83 \pm 0/24$  میکرومتر می‌باشد. مطالعات میکروسکوپ الکترونی نشان داد که بیشترین سلول‌های سطحی بافت آبشش سلول‌های سنتگرفرشی دارای چین‌خوردگی‌های رأسی می‌باشند و در میان آنها سلول‌های کلراید که دارای چاله‌ی رأسی هستند دیده می‌شوند.

واژه‌های کلیدی: آبشش، سلول‌های کلراید، ماهی سفید، ایمونو‌هیستوشیمی، میکروسکوپ الکترونی

\*نویسنده مسئول، تلفن: ۰۹۱۶۶۴۴۶۹۹۰، پست الکترونیکی: ZKhoshnoood@gmail.com

## مقدمه

این گونه به رودخانه‌ها آغاز گردید مشخصاً ذخایر این ماهی را تحت تاثیر قرارداد. در حال حاضر، سالیانه بیش از ۱۵۰ میلیون قطعه بچه ماهی انگشت قد سفید رهاسازی شده و این امر نقش مهمی در حفظ و بازسازی ذخایر این گونه به شمار می‌رود (۳۵). در زمینه بررسی فیزیولوژی سیستم تنظیم اسمزی، آبشش مهمترین اندامی است که عملکرد تنظیم اسمزی را بر عهده دارد و در اپی‌تلیوم آبششی، سلول‌های کلراید که دارای دانسته بالایی از آنزیم  $\text{Na}^+/\text{K}^+$ -ATPase هستند، مهمترین نقش را در روندهای

ماهی سفید با نام علمی *Rutilus frisii kutum* از خانواده Cyprinidae، یکی از مهمترین و با ارزش‌ترین ماهیان نواحی جنوبی دریای خزر می‌باشد. این ماهی کلیه مراحل زندگی خود (از قبیل تغذیه، رشد و نمو و...) را در دریا سپری و برای تولید مثل وارد آب‌های شیرین رودخانه‌ها می‌شود و در ۳ تا ۴ سالگی به بلوغ جنسی می‌رسد. ماهی سفید دریای خزر یک گونه‌ی مهم اقتصادی منطقه به شمار می‌رود. برنامه‌ی حفاظت از ماهی سفید دریای خزر که در سال ۱۹۸۲ با رهاسازی بچه‌ماهیان انگشت قد فرم بهاره‌ی

تأثیر فاکتورهای مختلف محیطی بر این بافت را مورد بررسی قرارداد.

### مواد و روشهای

بچه ماهیان ۲۱-۳۳ میلی‌گرمی (سن رهاسازی) در مرداد ۱۳۹۰ از مرکز تکثیر و پرورش ماهیان شهید انصاری رشت تهیه شدند. ماهیان پس از اندازه‌گیری طول و وزن جهت مطالعات بافت‌شناسی و ایمونو‌هیستوشیمی در محلول بوئن مورد فیکس قرار گرفتند. جهت انجام مطالعات بافت-شناسی، نمونه‌ها به مدت ۲۴ ساعت در محلول بوئن فیکس شدند. پس از آن چندین مرتبه با الكل اتانول ۷۰٪ و ۹۵٪ و ۱۰۰٪ و نهایتاً توسط الكل بوتانول آبگیری شدند. نمونه‌ها پس از قرارگیری به مدت ۳ ساعت در زایلن، به منظور پارافینه کردن، در داخل آون در پارافین مایع قرار داده شدند و پس از آن توسط پارافین (Merck) قالب‌گیری شدند. از بافت‌ها برش‌هایی به ضخامت ۶ میکرومتر توسط میکروتوم (Leica RM2255) تهیه شد. لامها پس از نگهداری به مدت یک شب در دمای اتاق و پس از آن پارافین زدایی توسط زایلن به روش هماتوکسیلین-اوزین (H&E) توسط دستگاه رنگ-آمیزی (Microm) رنگ آمیزی شده و توسط میکروسکوپ نوری (Nikon DS-Fi1) مورد مطالعه و عکسبرداری قرار گرفتند (۲۲، ۱۷).

جهت مکانیابی آنزیم  $\text{Na}^+$ ,  $\text{K}^+$ -ATPase به روش ایمونو‌هیستوشیمی، نمونه‌ها ابتدا به مدت ۲۴ ساعت در محلول بوئن فیکس گردیدند و پس از طی مراحل آبگیری، شفاف‌سازی و قالب‌گیری که در بخش هیستولوژی شرح داده شد، به کمک میکروتوم برش‌های ۶ میکرومتری از بافت‌ها، به روی لامهای شیشه‌ای مخصوص که قبلاً آماده سازی شده بودند قرار داده شدند. آماده سازی این لامها به روش زیر صورت گرفت.

لامها به مدت ۲۴ ساعت در محلول حاوی ۹۰ میلی‌لیتر

تنظیم یونی و اسمزی بر عهده دارند (۱۳). اپی‌تیلوم آبتش از چند نوع سلول مختلف تشکیل شده است که مهمترین آنها سلول‌های سنگفرشی (Pavement Cell)، سلول‌های کلراید (Chloride Cell) و سلول‌های موکوسی (Mucous Cell) هستند. سلول‌های سنگفرشی و سلول‌های کلراید (سلول‌های غنی از میتوکندری یا یونوسيت) به ترتیب بیش از ۹۰٪ و کمتر از ۱۰٪ سطح اپی‌تیلوم را به خود اختصاص می‌دهند. هر چند که سلول‌های سنگفرشی بیشتر سطح آبتش را می‌پوشانند اما نقش غیرفعالی در عملکردهای تنظیم اسمزی دارند، این سلول‌ها بیشتر مکان تبادل گازهای تنفسی هستند چرا که سلول‌هایی بسیار نازک با سطح رأسی بسیار گسترده می‌باشند (۱۳). تمامی انواع سلول‌های بافت آبششی جایگاه بیان ژن  $\text{Na}^+$ ,  $\text{K}^+$ -ATPase هستند، اما در این میان دانسته این آنزیم در سلول‌های کلراید از همه این سلول‌ها بیشتر بوده و به رقمی در حدود ۱۰۸ آنزیم به ازای هر سلول می‌رسد، به همین سبب مکانیابی آنزیم  $\text{Na}^+$ ,  $\text{K}^+$ -ATPase با استفاده از آنتی‌بادی‌های اختصاصی زیر واحدهای آنزیم از روش‌های مطمئن به منظور مکانیابی سلول‌های کلراید آبششی محسوب می‌گردد (۲۸) سلول‌های کلراید مهمترین جایگاه تبادلات یونی هستند، این سلول‌ها علاوه بر تنظیم تعادل اسیدی-بازی مسئول ترشح یون‌ها در آب شور و جذب یونها در آب شیرین به شمار می‌روند (۳۴).

از آنجاییکه ماهی سفید دریایی خزر یک ماهی رود کوج بوده که در اکوسیستم در معرض خطر دریای خزر زیست می‌کند و در معرض انواع آلاینده‌ها و صید بی‌رویه قرار دارد، شناخت فیزیولوژی این ماهی و بویژه فیزیولوژی تنظیم اسمزی آن، به دلیل ویژگی مهاجرت بین آبهای شور و شیرین از اهم مطالعات انجام شده بر روی این ماهی به شمار می‌رود و در این میان شناخت مکان و پراکنش سلول‌های کلراید، به عنوان اصلی‌ترین فاکتورهای تنظیم اسمزی، دارای اهمیت خاصی است. با شناخت ساختمان دقیق بافت آبششی در این ماهی می‌توان در مطالعات آینده

ایمونوہیستوشیمی سلول‌های کلراید آبتشی توسط نرم افزار Image Tool مورد اندازه‌گیری قرار گرفتند، سلول‌ها در ترانسکت‌های تصادفی با ابعاد  $17 \times 16 \times 21 \text{ }\mu\text{m}^3 / 163$  میکرومتر مورد شمارش و اندازه‌گیری قرار گرفتند. در هر سلول بیشترین ارتفاع به عنوان طول و بیشترین پهنای عنوان عرض در نظر گرفته شد (۳۱ و ۳).

به منظور مطالعه‌ی بافت آبتشی با میکروسکوپ الکترونی نگاره (SEM) کمان‌های آبتشی در ابتدا به مدت ۱۲ ساعت در محلول حاوی  $50\%$  گلوتارآلدهید و  $5\%$  PBS (فسفات بافر سالین) فیکس شدند. پس از گذشت ۱۲ الی ۲۴ ساعت، به محلول PBS منتقل گردیدند و در این مرحله، فیکس نمونه‌ها به پایان رسید. به منظور فیکس ثانویه (Post fix) نمونه‌ها پس از قرار گرفتن در تراکسیداسمویم به مدت ۱ ساعت توسط محلول بافر PBS و آب مقطر مورد شستشو قرار داده شده و سپس به اتانول  $70\%$  منتقل گردیدند. پس از آبگیری از نمونه‌ها توسط سری افزایشی اتانول نمونه‌ها به مدت ۲ ساعت توسط دستگاه فریزدرایر خشک شده و سپس بالاصله توسط طلا پوشش داده شدند و در نهایت توسط میکروسکوپ الکترونی نگاره KYKY-EM3200 مورد مطالعه و عکسبرداری قرار گرفتند (۱۸، ۱۴).

## نتایج

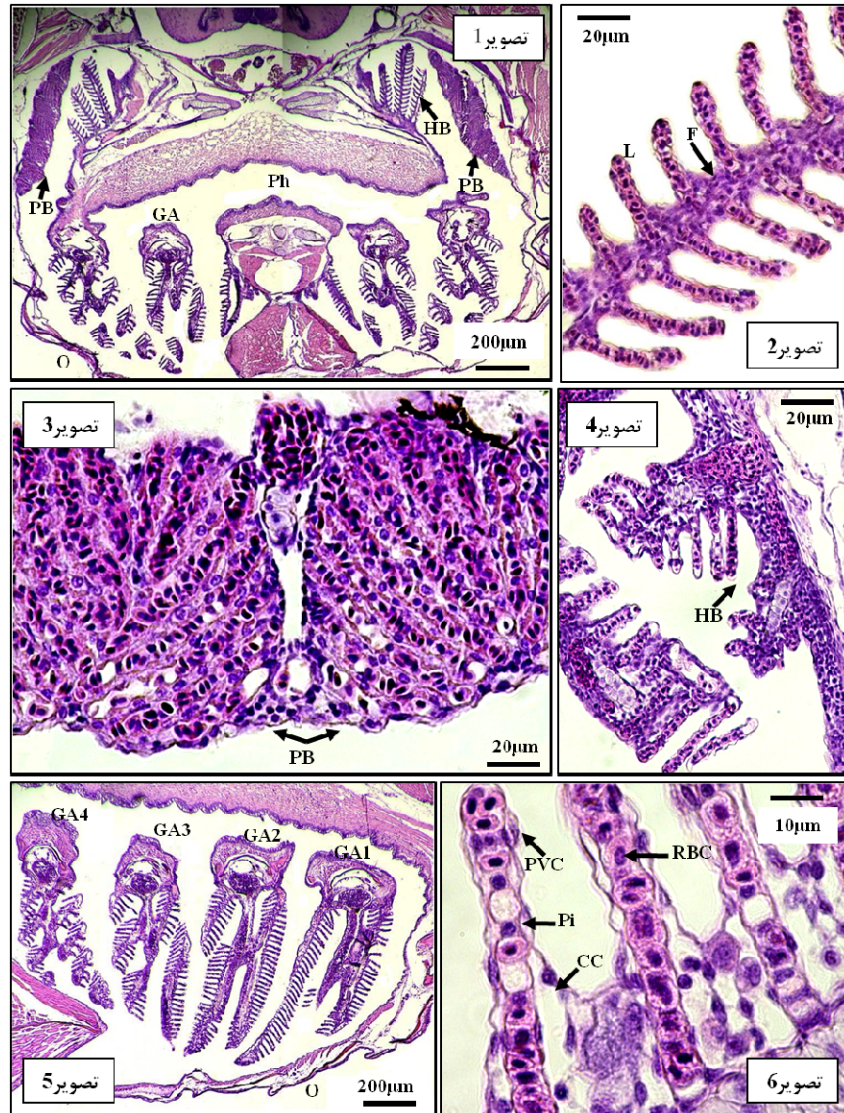
مطالعه‌ی حاضر نشان داد که در بچه ماهی‌سفید در سن رهاسازی در هر طرف سر ۴ کمان آبتشی وجود دارد (تصویر ۱ و ۵)، بر روی هر کمان آبتشی ۲ ردیف رشته‌های آبتشی که حاوی تیغه‌های آبتشی می‌باشند قرار گرفته است (تصویر ۲)، همچنین در بخش خلفی- فوکانی محفظه‌ی آبتشی یک همی‌برانش متصل به دیواره وجود دارد که از تعدادی رشته‌ی آبتشی حاوی تعدادی تیغه‌ی آبتشی تشکیل یافته است (تصویر ۱ و ۴) و نیز در بالای محفظه‌ی آبتشی در هر طرف سر یک سودوبرانش دیده می‌شود که ظاهری شبیه به تیغه‌های آبتشی چسبیده به

اتanol  $90\%$  میلی‌لیتر اسید کلریدریک قرار داده شدند، پس از طی این مدت لامها با آب مقطر شستشو داده شده و سپس در دمای  $37^\circ\text{C}$  سانتی‌گراد در داخل آون به مدت ۲۴ ساعت خشک گردیدند و تا زمان استفاده در جعبه‌ی لام و به دور از هر گونه آلدگی نگهداری گردیدند. رقیق کردن و تهیه‌ی آنتی‌بادی‌ها به روش زیر انجام گرفت. از محلول اصلی آنتی‌بادی IgG<sub>A5</sub> با غلظت ۲۹ میکرولیتر در میلی‌لیتر استفاده شد و از این منع برای لام، ۳۷ میکرولیتر از آنتی‌بادی IgG<sub>A5</sub> به اضافه‌ی ۲۲۲۰ میکرولیتر محلول Regiler+PBS رقیق شده و به هر لام ۱۰۰ میکرولیتر از این محلول اضافه گردید. به منظور تهیه و آماده سازی آنتی‌بادی دوم (FITC) برای لام، ۴۰ میکرولیتر از آنتی‌بادی FITC با ۳۹۴۷ میکرولیتر محلول Regiler+PBS رقیق شده و به همه‌ی لام‌ها اضافه گردید (هر لام ۱۰۰ میکرولیتر). در انجام ایمونوہیستوشیمی آنتی‌بادی اول به ۳ لام اضافه نگردید، اما آنتی‌بادی دوم به همه‌ی لام‌ها افزوده شد، این لام‌ها به عنوان شاهد منفی جهت مقایسه با لام‌های دیگر در نظر گرفته شدند. تمامی مراحل کار در جعبه‌ی مرتبط مخصوص صورت گرفت و از مرحله‌ی افزودن آنتی‌بادی دوم، لام‌ها در تاریکی مورد مطالعه قرار گرفتند. جهت انجام ایمونوہیستوشیمی پس از پارافین‌زادی لام‌ها توسط زایلن، نمونه‌ها در سری کاهشی اتانول ( $100\%$ ،  $95\%$ ،  $90\%$ ،  $70\%$  و  $50\%$ ) قرار داده شدند و پس از قرار گرفتن در محلول بافر PBS، آنتی‌بادی اول (IgG<sub>A5</sub>) به مدت ۲ ساعت بر روی لام‌ها قرار داده شد، پس از شستشوی لام‌ها در PBS آنتی‌بادی دوم (FITC) به مدت ۹۰ دقیقه بر روی لام‌ها قرار گرفت و در نهایت شستشوی لام‌ها و چسباندن لامل بر روی آنها با چسب مخصوص لام‌های ایمونوہیستوشیمی انجام شد. پس از مونتاژ، لام‌ها با میکروسکوپ نوری فلورسنت مورد مطالعه قرار گرفته و بوسیله‌ی دوربین Olympus DP72 از آنها عکسبرداری صورت گرفت (۱۶، ۱۷).

با استفاده از تصاویر تهیه شده در تکنیک

آبنشی نیز سلول‌های کلراید دیده می‌شوند، همچنین فاصله‌ی میان دو اپیتلیوم تیغه‌های آبنشی توسط سلول‌های ستونی شکل پیلار شکل گرفته است (تصویر ۶).

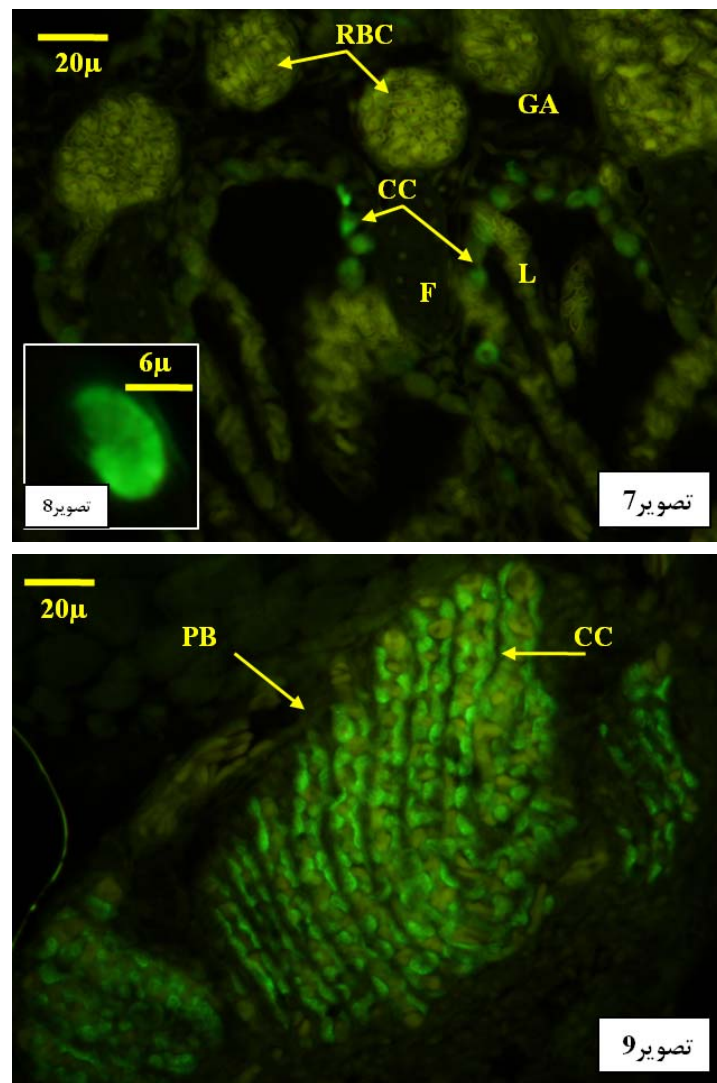
یکدیگر دارد (تصویر ۱ و ۳) مطالعات نشان داد که سلول‌های سطحی بافت آبنش را سلول‌های سنگفرشی (Pavement Cell) تشکیل داده و در پایه‌ی تیغه‌های



تصویر ۱- تصویر بافت شناسی کلاسیک (H & E): برش عرضی محفظه‌های آبنشی در دو طرف سر بچه ماهی سفید دریای خزر. تصویر ۲- تصویر بافت شناسی کلاسیک (H & E): رشته‌ی آبنشی حاوی تیغه‌های آبنشی. تصویر ۳- تصویر بافت شناسی کلاسیک (H & E): سودوبرانش آبنش کاذب. تصویر ۴- تصویر بافت شناسی کلاسیک (H & E): همی برانش در بخش خلفی- فوکانی محفظه‌ی آبنشی حاوی رشته‌های آبنشی. تصویر ۵- تصویر بافت شناسی کلاسیک (H & E): چهار کمان آبنشی در هر طرف سر قرار گرفته و سروپوش آبنشی محفظه‌ی آبنشی را از محیط بیرون جدا کرده است. تصویر ۶- تصویر بافت شناسی کلاسیک (H & E): سلول‌های تشکیل دهنده‌ی بافت آبنشی. PB: سودوبرانش (آبنش کاذب)، GA: Gill Arch (Gill Arch)، Ph: Kمان آبنشی، HB: Pharynx (Pharynx)، H: Hemi Branch (Hemi Branch)، P: Pseudo Branch (Pseudo Branch)، O: Operculum (Operculum)، F: Filament (Filament)، L: Lamellae (Lamellae)، Pi: اپرکول (سرپوش آبنشی)، CC: Chloride Cell (Chloride Cell)، RBC: Red Blood Cell (Red Blood Cell)، PVC: Pillar Cell (Pillar Cell)، RBC: Red Blood Cell (Red Blood Cell)، O: Operculum (Operculum)، C: Sclerite (Sclerite)، RBC: Red Blood Cell (Red Blood Cell)، PVC: Pillar Cell (Pillar Cell)، RBC: Red Blood Cell (Red Blood Cell)، O: Operculum (Operculum)، C: Chloride Cell (Chloride Cell).

نتایج اندازه‌گیری این سلول‌ها نشان داد که میانگین بیشترین کشیدگی سلول‌ها (طول) برابر با  $9.70 \pm 0.28$  میکرومتر و میانگین بیشترین پهنای آنها (عرض) سلول‌های کلراید آبتشی نشان داد که در هر میلی‌مترمربع از بافت آبتش حدود ۵۰۱ سلول کلراید وجود دارد.

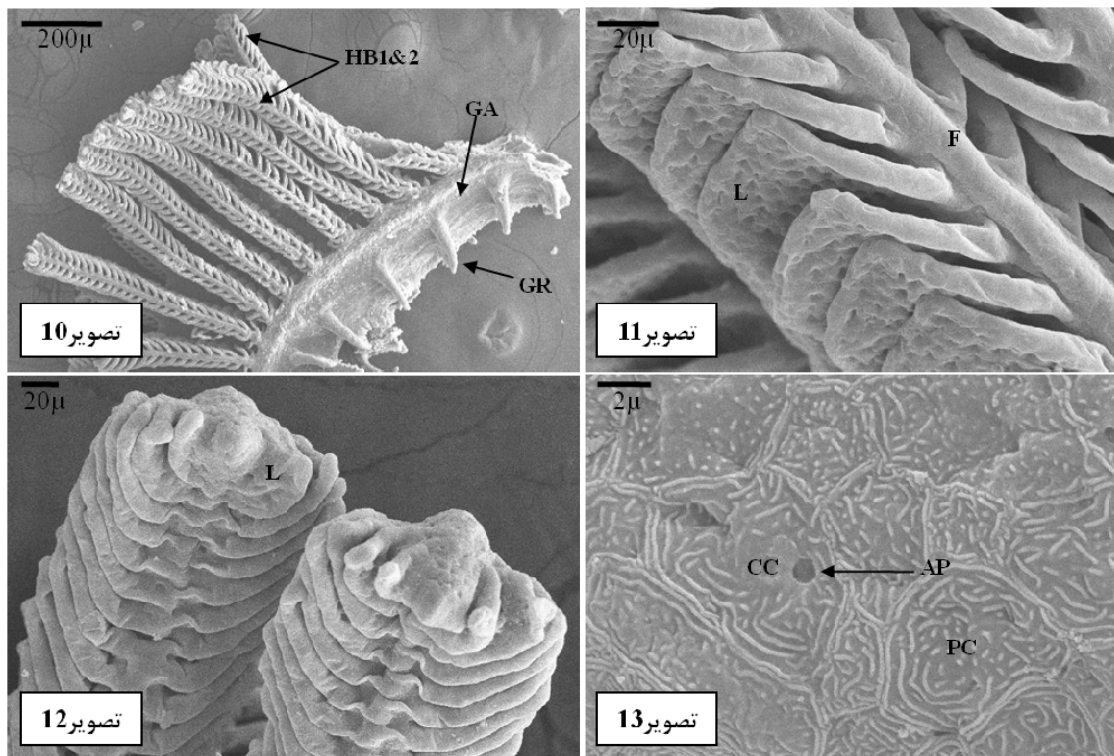
مطالعات ایمونوہیستوشیمی نشان داد که سلول‌های کلراید آبتشی در بچه ماهیان سفید دریای خزر بر روی کمان آبتشی، بر روی فیلامن‌تها و در پایه‌ی لاملاها، سودوبرانش و همیبرانش وجود دارند (تصاویر ۷ و ۸). از نظر ظاهری اغلب این سلول‌های گرد تا تخمرغی شکل بوده و بیشترین میزان فلورسانس را در غشاها قاعده‌ای-جانبی آنها می‌توان مشاهده کرد (تصویر ۸).



تصویر ۷- تصویر ایمونوہیستوشیمی: بافت آبتش، سلول‌های کلراید به رنگ سبز درخشان قابل تشخیص هستند.

تصویر ۸- تصویر ایمونوہیستوشیمی: تصویر بزرگ شده از یک سلول کلراید که بیشترین میزان فلورسانس در غشاها قاعده‌ای-جانبی آن دیده می‌شد. تصویر ۹- تصویر ایمونوہیستوشیمی: سودوبرانش (آبتش کاذب) که دارای ساختارهای شبیه با لاملا بوده و دارای تعداد زیادی سلول کلراید می‌باشد.

PB: Pseudo Branch (آبتش کاذب)، GA: Gill Arch (کمان آبتشی)، F: Filament (Fibril)، CC: Chloride Cell (گلبول قرم خون)، RBC: Red Blood Cell (گلبول قرم خون)، L: Lamellae (لاملا (تیغه‌ی آبتشی)).



تصویر ۱۰- تصویر میکروسکوپ الکترونی نگاره (SEM): بخشی از یک کمان آبنشی. تصویر ۱۱- تصویر میکروسکوپ الکترونی نگاره (SEM): بخش انتهایی دو رشته‌ی آبنشی حاوی تیغه‌های آبنشی. تصویر ۱۲- تصویر میکروسکوپ الکترونی نگاره (SEM): سلول‌های سنگفرشی دارای چین خوردگی‌های سطحی و سلول‌های کلراید که علاوه بر چین خوردگی‌های رأسی دارای چاله‌ی رأسی نیز می‌باشند. تصویر ۱۳- تصویر میکروسکوپ الکترونی نگاره (SEM): سلول‌های سنگفرشی (Tiyehi آبنشی)، L: سلول کلراید، PC: Pavement Cell)، CC: Chloride Cell) (Lاملا (تیغه‌ی آبنشی)، AP: Apical Pit (چاله‌ی رأسی)، GR: Hemi Branch) (همی برانش، F: Gill Arch) (کمان آبنشی، F: Gill Arch). GA: Gill Arch.

های کلراید قرار دارند که بوسیله‌ی چاله‌ی رأسی قابل تشخیص هستند (تصویر ۱۳).

### بحث و نتیجه‌گیری

بدلیل آسانی جداسازی بافت آبنشی و نیز بدلیل شاخص بودن سلول‌های این بافت جهت برآورد وضعیت تنظیم اسمزی ماهی، تاکنون مطالعات مختلفی بر روی بافت آبنشی ماهیان گونه‌های مختلف، اثرات شوری بر فاکتورهای خونی و یا هورمونی ماهی سفید در مراحل مختلفی از زندگی صورت گرفته است (۸ و ۲۴، ۵، ۷)، اما مکان‌یابی سلول‌های کلراید آبنشی در ماهی سفید دریای

مطالعات میکروسکوپ الکترونی نشان داد که همانطور که در مطالعات هیستولوژی مشاهده گردید هر کمان آبنشی حاوی دو ردیف رشته‌های آبنشی می‌باشد (تصویر ۱۰) که در هر دو سمت رشته‌های آبنشی نیز تیغه‌های آبنشی قرار گرفته‌اند و این تیغه‌ها تا انتهای رشته‌ی آبنشی دیده می‌شوند (تصاویر ۱۱ و ۱۲)، همچنین خارهای آبنشی بسیار بلند نیز بر روی بخش خلفی کمان‌های آبنشی قابل تشخیص هستند (تصویر ۱۰). بیشترین تعداد سلول‌های سطح بافت آبنشی را سلول‌های سنگفرشی تشکیل می‌دهند که سطح بیرونی و فوقانی آنها دارای چین‌خوردگی‌های بسیار ظرفی می‌باشد و در کنار آنها سلول-

سودوبرانش در ماهیان تلئوست بطور کلی به عنوان یک همیبرانش تغییرشکل یافته از کمان آبتشی ماندیبولار شناخته می‌شود که در بخش فوکانی محفظه‌ی آبتشی قرار گرفته است (۲۶)، اما بدلیل تفاوت در اندازه، محل قرارگرفتن و نیز حضور یا نبود آن در گونه‌های مختلف ماهیان، همچنان یکی از موارد مطالعه در ماهیان به شمار می‌رود (۲۷). این در حالی است که در میان ۲۳۸ خانواده-ی ماهیان تلئوست، سودوبرانش تقریباً در تمامی گونه‌ها دیده می‌شود و تنها در گونه‌های معدودی از راسته‌ی Siluroidei، زیر راسته‌ی *Anguilliformes* و تمامی گونه‌های جنس‌های *Cobitis* و *Gymnarchus* دیده نمی‌شود (۲۷). با توجه به حضور پرتعداد سلول‌های کلرايد در سودوبرانش ماهی‌سفید دریای خزر می‌توان نقش تنظیم اسمزی را نیز به سایر نقش‌های سودوبرانش که در مطالعات مختلف برای آن برشمرده شده است افزود.

نتایج مطالعه‌ی ایمونوھیستوشیمی نشان داد که بیشترین ایمونوفلورست در بخش قاعده‌ای - جانبی سلول‌های کلرايد دیده می‌شود و این با نقش جذب فعال این سلول‌ها با استفاده از آنزیم  $\text{Na}^+/\text{K}^+$ -ATPase مطابقت دارد. نتایج مطالعات انجام شده روی سایر گونه‌ها به روش ایمونوھیستوشیمی و ایمونوگلاد نیز به حضور این آنزیم در بخش قاعده‌ای - جانبی سلول‌های کلرايد اشاره دارد (۲۸، ۲۴ و ۱۵، ۱۳).

از سوی دیگر نتایج شمارش سلول‌های کلرايد در آبتش بچه‌ماهیان سفید دریای خزر نشان داد که در هر میلی مترمربع از سطح این بافت حدوداً ۵۰۱ سلول کلرايد وجود دارد که این سلول‌ها بر روی کمان‌های آبتشی، رشته‌های آبتشی، در پایه‌ی تیغه‌های آبتشی و نیز بر روی همی-برانش دیواره‌ی قدامی محفظه‌ی آبتشی قرار گرفته‌اند. براساس مطالعات (Chang, Wong) (۲۰۰۱) در هر میلی مترمربع از بافت آبتش مارماهی ژاپنی، *Anguilla japonica* (۵۰۰ گرمی) ۱۰۰۶ سلول کلرايد وجود دارد،

خزر، به روش ایمونوھیستوشیمی، که یکی از مطمئن‌ترین روش‌های آزمایشگاهی شناسایی و تشخیص سلول‌های کلرايد به شمار می‌رود، برای نخستین بار در مطالعه‌ی حاضر مورد بررسی قرار گرفته است. همچنان در بسیاری از مطالعات بافت‌شناسی که بر روی بافت آبتشی صورت می‌گیرد کمان‌های آبتشی جدا شده مورد مطالعه قرار گرفته‌اند (۹، ۱۶). این در حالی است که در مطالعه‌ی حاضر محفوظه‌ی آبتشی بطور کامل و بدون جدا شدن از سر ماهی مورد مطالعه قرار گرفت و بر این اساس نتایج مطالعه‌ی حاضر نشان دهنده ساختار کامل بافت آبتشی و ضمائم آن در ماهی سفید دریای خزر برای نخستین بار می‌باشد.

نتایج مطالعه‌ی حاضر در بخش بافت آبتشی نشان داد که در ماهی سفید دریای خزر، بافت آبتشی، مشتمل از چهار کمان آبتشی در هر طرف سر، یک سودوبرانش آبتشی در هر طرف سر و یک همی برانش متصل به دیواره‌ی محفظه‌ی آبتشی می‌باشد و نتایج بخش ایمونوھیستوشیمی نشان داد که در این ماهی علاوه بر حضور سلول‌های کلرايد در بخش‌هایی مشخصی از بافت آبتشی نظری کمان‌های آبتشی و رشته‌های آبتشی که در سایر گونه‌ها نیز بوفور گزارش شده است. سلول‌های کلرايد در همی برانش متصل به دیواره‌ی خلفی - فوکانی محفظه‌ی آبتشی و نیز سودوبرانش نیز دیده می‌شوند. بیش از ۲۰ سال پیش، (Broussonet ۱۷۸۵) اعلام کرد که سودوبرانش ساختاری کوچک و مشابه با آبتش بوده که عملکرد تنفسی دارد، اما مطالعات بعدی نشان داد که این بافت نقشی در تنفس ماهیان بالغ ندارد (۲۷). در سال‌های اخیر مطالعات مختلف نقش اندوکرین (۱۰)، عصبی-ترشحی در ماهیان تلئوست دریابی و مصبی (۱۹)، اندام فراهم کننده اکسیژن (۲۳)، نگهدارنده فشار طبیعی چشم به عنوان یک شبکه‌ی مویرگی رته-میرایبل (۲۵ و ۳۲)، اندام حسی (۱۱)، و بسیاری دیگر از اعمال مختلف را به این بافت نسبت داده-اند اما نقش اساسی آن همچنان ناشناخته باقی مانده است.

آبششی بچه ماهی‌سفید دریایی خزر عموماً از نوع سوم (Deep hole) می‌باشدند، از آنجاییکه نوع سوم سلول‌های کلرايد اصولاً سلول‌هایی جهت سازگاری با شوری می‌باشند (۲۰)، به نظر می‌رسد که حضور این سلول‌ها در اپیتلیوم آبششی بچه ماهیان سفید دریایی خزر در سن رهاسازی، آمادگی وضعیت فیزیولوژیک این ماهیان را جهت مواجهه با شوری را نشان می‌دهد. همچنین با توجه به حضور پرتعداد یونوسيت‌ها در همی برانش متصل به دیواره محفظه‌ی آبششی و نیز سودوبرانش و برانش اصلی می‌توان نتیجه‌گیری کرد که بچه ماهیان سفید دریایی خزر در سن رهاسازی به آمادگی لازم از نظر سیستم تنظیم اسمری جهت ورود به آب با شوری بالاتر نسبت به محیط زندگی قبلی خود (روختانه به دریا) رسیده‌اند.

### تقدیر و تشکر

از آقایان مهندس صمد درویشی، مهندس نظافت، مهندس عابدین زاده، دکتر رضا خوشنود، دکتر مهدی قبیتی حسب، مهندس توتوچی، مهندس سیدمصطفی حسینی و خانم دکتر حلمیه اعتمادی و نیز کلیه‌ی پرسنل زحمت‌کش مرکز تکثیر و پرورش ماهیان شهید انصاری رشت که ما را در انجام این پژوهش یاری کردن‌کمال تشكر را داریم.

این میزان در تحقیقات (Varsamos ۲۰۰۲) در آبشش باس دریایی، *Dicentrarchus labrax* (۶۴۰ گرمی) برابر با ۶۲۵۰ سلول کلرايد، در تحقیقات (Van der Heijden ۱۹۹۷) در آبشش تیلاپیای موزامبیک، *Oreochromis mossambicus* (۶۵ گرمی) برابر با ۶۲۳۳ سلول کلرايد، در مطالعات (Lin ۲۰۰۳) و همکاران (۲۰۰۱) در آبشش خامه‌ماهی، *Chanos chanos* (۳۱ گرمی) برابر با ۴۰۰ سلول و در تحقیقات (McCormick Pelis ۲۰۰۱) در آبشش سالمون آتلانتیک، *Salmo salar* (۲۵ گرمی) ۱۲۰ سلول کلرايد شمارش گردید. با توجه به نتایج مطالعه‌ی حاضر و در مقایسه با نتایج سایر مطالعات، به نظر می‌رسد که تعداد سلول‌های کلرايد در بافت آبششی در گونه‌های مختلف، در ماهی‌های با اندازه‌های مختلف با توجه به میزان فعالیت‌های فیزیولوژیک در سینن و اوزان مختلف متفاوت می‌باشد.

مطالعات مورفولوژیک سلول‌های کلرايد بوسیله میکروسکوپ الکترونی، نشان می‌دهد که در اپیتلیوم آبششی گونه‌های مختلف ماهیان سه نوع سلول کلرايد وجود دارد: نوع اول (Wavy convex)، نوع دوم (Deep hole) و نوع سوم (Shallow basin) (۲۰۱۲).

نتایج مطالعه‌ی حاضر نشان می‌دهد که سلول‌های کلرايد

### منابع

۱. پورخواجه، م.، عبدالی، ر.، ذوالقرنین، ح.، حسین زاده صحافی، ۵. و مروتی، ح.، ۱۳۹۰. بافت شناسی و مکان یابی اینینایی سلول‌های یونوسيت در آبشش بچه‌ماهی هامور معمولی (Epinephelus cooides). اقیانوس شناسی. شماره ۲ (۶)، صفحات ۶۱-۶۸.
۲. تکه، ش.، ایمانپور، م.، سوداگر، م.، و شباعلی، ع.، ۱۳۸۹. بررسی تغییرات بیوشیمیایی سمن در زمان‌های مهاجرت توپیلیده‌ی ماهی سفید *Rutilus frisii kutum Kamensky* ۱۹۰۱. مجله زیست‌شناسی ایران، شماره ۲۳ (۲)، صفحات ۱۹۰-۱۹۶.
۳. خوشنود، ز.، خدابنده، ص.، مسافر، س.، و خوشنود، رضا، ۱۳۸۸. اثرات هورمون کورتیزول بر سلول‌های کلرايد آبششی در بچه‌تاسماهی ایرانی *Acipenser persicus* فصلنامه‌ی پژوهش‌های یاخته. سال یازدهم شماره ۴، صفحات ۴۲۴-۴۳۱.
۴. رستمی بشمن، م.، سلطانی، م.، و ساسانی، ف.، ۱۳۷۹. مطالعه اثرات هیستوپاتولوژی برخی از فلزات سنگین (سلفات‌مس، سلفات‌روی، سلفات‌جیوه، کلرور کادمیوم) بر بافت‌های ماهی چپور معمولی، مجله دانشکده دامپزشکی دانشگاه تهران، شماره ۵۵ (۴)، صفحات ۳۱-۴۲.
۵. شریف پور، ع.، ابطحی، ب.، حیدری جامع بزرگ، ف.، سیف آبادی، ح.، و تقی زاده رحمت آبادی، ز.، ۱۳۹۰. آسیب شناسی

- میزان بازماندگی، غذاگیری و پارامترهای خونی در بچه ماهیان سفید (*Rutilus frisii kutum Kamensky* 1901)، مجله زیست‌شناسی ایران، شماره ۲۴ (۴)، صفحات ۵۳۹-۵۴۹.
- گروینی، ح، جمیلی، ش، و رستمی، م، ۱۳۸۷. اثر سمیت حاد سولفات آلمینیوم بر بافت آبشش ماهی کلمه *Rutilus*، پژوهش و سازندگی در امور دام و آبزیان، شماره ۷۹ صفحات ۱۹۳-۱۹۶.
- ناجی، ط، صفاییان، ش، رستمی، م، و صیرجو، م، ۱۳۸۶. بررسی اثرات سولفات روی بر بافت آبشش بچه ماهی کپور معمولی *Cyprinus carpio* علوم و تکنولوژی محیط زیست، دوره نهم، شماره ۲، صفحات ۲۹-۳۶.
10. Bertin, L., 1958. Organes de la respiration aquatique, in Traite de Zoologie, Vol. XIII, ed. by P. P. Grasse, Masson Publishing. Paris, PP: 1301-1341.
11. Bridges, C. R., Berenbrink, M., Muller, R., and Waser, W., 1998. Physiology and biochemistry of the pseudobranch: An unanswered question? Comparative Biochemistry and Physiology, part A., 119 (1), PP: 67-77.
12. Chang, I. C., Lee, T. H., Yang, C. H., Wei, Y. Y., Chou, F. I., and Hwang, P. P., 2001. Morphology and function of gill mitochondria-rich cells in fish acclimated to different environments. Physiological and Biochemical Zoology. Vol 74 (1), PP: 111-119.
13. Evans, D. H., Piermarini, P. M., and Choe, K. P., 2005. The multifunctional fish gill: dominant site of gas exchange, osmoregulation, acid-base regulation and excretion of nitrogenous waste. Physiological Review., 85, PP: 97- 177.
14. Glauret, M. A., 1974. Practical Methods in Electron Microscopy, Vol. 3, North Holland Publishing, PP: 353.
15. Hirose, S., Kaneko, T., Natio, N., and Takei, Y., 2003. Molecular biology of major components of chloride cells. Com. Biochem. Physiol. B. 136, 593-620.
16. Khodabandeh, S., Kutnik, M., Aujoulat, F., Charmantier, G., and Charmantier-Daures, M., 2005. Ontogeny of the antennal glands in the crayfish *Astacus leptodactylus* (Crustacea, Decapoda), immunolocalization of  $\text{Na}^+$ ,  $\text{K}^+$ -ATPase. Cell and Tissue Research. 319, PP: 153-165.
17. Khodabandeh, S., Khoshnood, Z., and Mosafer, S., 2008. Immunolocalization of  $\text{Na}^+$ ,  $\text{K}^+$ -ATPase-rich cells in the gill and urinary system اثرات فاز محلول نفت خام بر بافت آبشش بچه ماهی سفید دریای خزر (*Rutilus frisii kutum*) در شرایط آزمایشگاهی. مجله علمی شیلات ایران، شماره ۲۰ (۱)، صفحات ۸۹-۱۰۰.
6. عطایی مهر، ب، مجازی امیری، ب، میرواقفی، ع، نظامی، ش، و ریاضی، غ، ۱۳۸۹. اثر شوری‌های مختلف بر میزان املاح، فشار اسمزی، آب بافت بدن، سلول‌های کلاید آبششی و درصد تلفات بچه ماهی سفید (*Rutilus frisii kutum kamensky* 1901)، مجله علمی شیلات ایران، شماره ۱۹ (۲)، صفحات ۱۱۰-۱۳۰.
7. عنایت غلامپور، ط، ایمانپور، م، ر، حسینی، س، ع، و شعبانپور، ب، ۱۳۹۰. تاثیر سطوح مختلف شوری بر شاخص‌های رشد، of Persian sturgeon, *Acipenser persicus*, fry. Aquaculture Research. PP: 1-8.
18. Khoshnood, Z., Khodabandeh, S., Shahryari Moghaddam, M., and Mosafer Khorjestan, S., 2011. Histopathological and Pathomorphological Effects of Mercuric Chloride on the Gills of Persian Sturgeon, *Acipenser persicus*, Fry. International Journal of Natural Resources and Marine Sciences. 1 (1), PP: 23-32.
19. King, J. A. C., 1993. Ultrastructure of the pseudobranch in the euryhaline cyprinodontid fish, *Rivulus marmoratus*, Journal of Morphology, 218 (2), PP: 127-142.
20. Lee, T. H., Hwang, P. P., Lin, H. C., and Huang, F. L., 1996. Mitochondria-rich cells in the branchial epithelium of the teleost, *Oreochromis mossambicus*, acclimated to various hypotonic environments. Fish Physiology and Biochemistry., Vol 15, PP: 513-523.
21. Lin, Y. M., Chen, C. N., and Lee, T. H., 2003. The expression of gill Na<sup>+</sup>-K<sup>+</sup>-ATPase in milkfish, *Chanos chanos*, acclimated to seawater, brackishwater and freshwater. Com. Biochem. Physiol., A., 135, PP: 489- 497.
22. Mortoja, R., and Mortoja-Pierson, M., 1967. Initiation Aux Techniques de l histologie animale. Masson et Cie, Paris, PP: 345.
23. Munshi, J. S. D., Roy, P. K., Ghosh, T. K., and Olson, K. R., 1994. Cephalic circulation in the air-breathing snakehead fish, *Channa punctata*, *C. gachua* and *C. marulius* (Ophiocephalidae, Ophiocephaliformes), Anatomy Research, 238, PP: 77-91.
24. Pelis, M. R., and McCormick, S. D., 2001. Effects of growth hormone and cortisol on Na-K-2Cl co transporter localization and abundance

- in the gills of Atlantic salmon. Gen. Com. Endocrinol. 124, PP: 134-143.
25. Pelster, B., and Randall, D. J., 1998. The physiology of the root effect, in Fish Physiology, ed. by S. F. Perry, and B. L. Tufts, Academic Press, New York. PP: 113-139.
  26. Quinn, M. C. J., Veillette, P. A., and Young, G., 2003. Pseudobranch and gill  $\text{Na}^+$ ,  $\text{K}^+$ -ATPase activity in juvenile Chinook salmon, *Oncorhynchus tshawytscha*: developmental changes and effects of growth hormone, cortisol and seawater transfer, Comparative Biochemistry and Physiology, part A. 135, PP: 249-262.
  27. Roy, P. K., Ghosh, T. K., and Munshi, J. S. D., 1997. The pseudobranch: their structure and function in freshwater teleosts, in Advances in Fish Research, Vol. 2, ed. by B.R. Sing, Narendra Publishing House, Delhi., PP: 81-96,
  28. Seidelin, M., Madsen, S. S., Bryalsen, A., and Kristiansen, K., 1999. Effects of insulin-like growth factor-I and cortisol on  $\text{Na}^+$ ,  $\text{K}^+$ -ATPase expression in osmoregulatory tissues of Brown trout, *Salmo trutta*. Gen. Com. Endocrinol. 113, 331- 342.
  29. Van der Heijden, A. J. H., Verbost, P. M., Eygensteyn, J. Li. J., Wendelaar Bonga, S. E., and Flik, G., 1997. Mitochondria-rich cells in gills of tilapia (*Oreochromis mossambicus*) adapted to freshwater or seawater: quantification by confocal laser scanning microscopy. J. Exp. Biol., 200, PP: 55-64.
  30. Varsamos, S., 2002. Tolerance Range and Osmoregulation in Hypersaline Conditions in the European Sea Bass (*Dicentrarchus labrax*). J. Mar. Biol. Asso. UK. 82, PP: 1047-1048.
  31. Varsamos, S., Diaz, J. P., Charmantier, G., Flik, G., Blasco, C., and Connes, R., 2002. Branchial chloride cells in sea bass (*Dicentrarchus labrax*) adapted to freshwater, seawater and doubly concentrated seawater. Journal of Experimental Zoology. 293, PP: 12-26.
  32. Waser, W., and Heisler, N., 2004. Oxygen delivery to the fish eye: blood flow in the pseudobranchial artery of rainbow trout (*Oncorhynchus mykiss*), Fish Physiology and Biochemistry, 30 (1), PP: 77-85.
  33. Wong, C., K., C., and Chang, D., K., O., 2001. Effects of Cortisol on chloride cells in the gill epithelium of Japanese eel, *Anguilla japonica*. Endocrinol. 168, PP: 185-192.
  34. Wood, C. M., and Marshall, W. S., 1994. Ion balance, acid-base regulation, and chloride cell function in the common killifish, *Fundulus heteroclitus* a euryhaline estuarine teleosts. Estuaries. 17, PP: 34-52.
  35. www.Caspian Environment.org. 2007. Caspian Sea, general background.

## Studying the Structure and Ultrastructure and Immunolocalization of the Gill Chloride cells in Caspian Kutum, *Rutilus frisii kutum* Fry

Khoshnood Z.<sup>1</sup>, Jamili Sh.<sup>1</sup>, Khodabandeh S.<sup>2</sup>, Mashinchian Moradi A.<sup>1</sup> and Motalebi A.A.<sup>3</sup>

<sup>1</sup> Marine Biology Dept., Faculty of Marine Sciences, Science and Research Branch, Islamic Azad University, Tehran, I.R. of Iran

<sup>2</sup> Marine Biology Dept., Faculty of Marine Sciences, Tarbiat Modares University, Tehran, I.R. of Iran

<sup>3</sup> Iranian Fisheries Research Organization, Tehran, I.R. of Iran

### Abstract

To investigate the branchial structure of the Caspian Kutum we used releasing fry's (21-33 mg Body Weight). Study of the branchial tissue showed that in these fry's branchial system was made up of 4 gill arch in each side of the head, one pseudobranch in each side of the head and one hemibranch at the posterior wall of the branchial chamber in each side of the head. Each gill arch bears gill filaments and lamella. Pseudobranch tissue is very similar to main gill tissue but it's made up of lamellar shaped structures bound to each other. Immunolocalization of the chloride cells showed that these cells were located on the gill arch, gill filament, at the basis of the lamellae, pseudobranch and the hemibranch of the posterior wall of the gill chamber. Measurements of these cells showed that mean length was  $9.70 \pm 0.28 \mu\text{m}$  and mean width was  $6.83 \pm 0.24 \mu\text{m}$ . Ultrastructural studies showed that the most surface of the gill epithelia was composed of the pavement cells that have apical microridges and between them one can see the chloride cells with apical pit.

**Key words:** Gill, Chloride Cells, Caspian Kutum, Immunohistochemistry, Electron Microscopy